

9180

Foto 8.- Materiales arcillo-yesíferos del Triásico (1) en contacto con las arcillas con tubotomaculum (16).- km 47 de la carretera - Alcalá de los Gazules- Medina Sidónia. (F 9180).



9181
Foto 0.- Yesos del Trias (1). (F.9181).



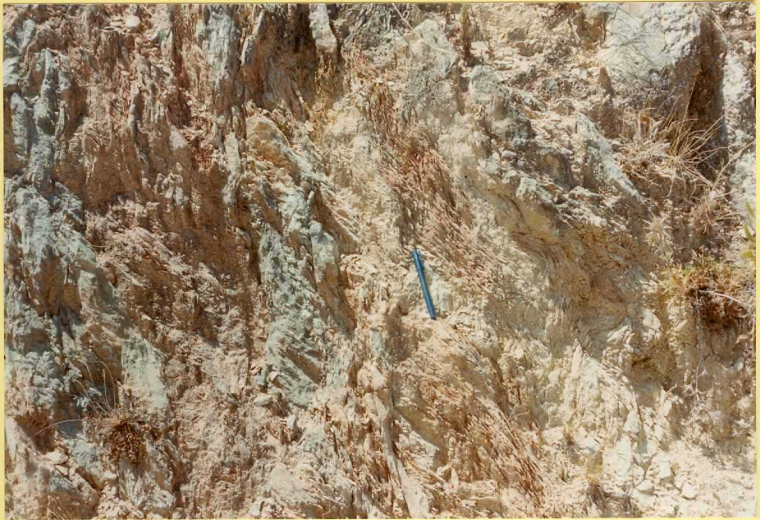
9182

Foto 8.- Vista del Cerro de los Espartales constituido por series
Subbéticas. (F.9182)



9184

Foto 9184.- "Capas rojas" del Penibético (8). Detalle de micropliegues de la fase de imbricación (F_1) y esquistosidad de la fase retro (S_2). (Oeste a la derecha. Garganta de Marecha). (F.9184).



9185

Foto 0.- Esquistosidad de la fase retro en "capas negras" (8). (Oeste
a la derecha. Garganta de Mareche). (F. 9185)



918c

Foto 9.- Micropliegues de fase de imbricación en capas rojas (8).

(Oeste a la derecha. Garganta de Marecha). (F.9186).



9187

Foto 0.- Calcarenitas y arcillas rojas de Benalop (13). (Bloque de la Carretera de Alcalá de Gazules de Benalop de Sidonia). (F.9187).



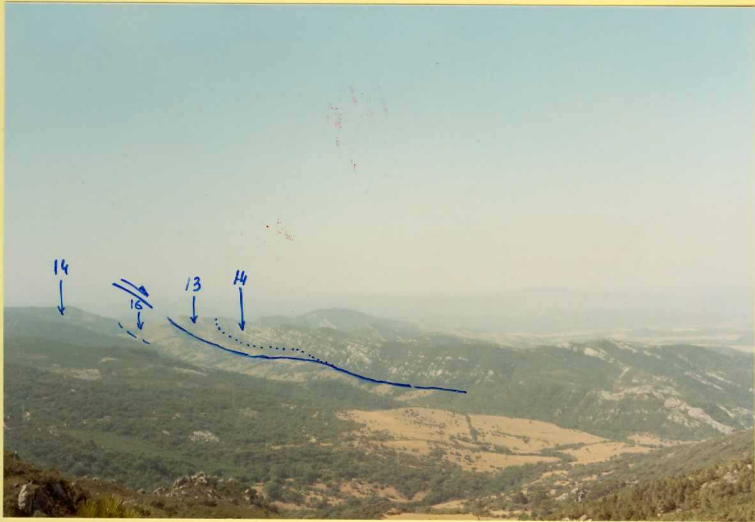
9188

Foto 0.- Tránsito entre las calcarenitas y arcillas rojas de Benaliza
(13) y las Arcillas del Aljibe (14). (Bloque de la Carretera
de Alcalá de los Gazules a Benalup). (F.9188).



9189

Foto 9189.- Pliegue con vergencia al Este en calcarenitas mayores de Benaliza (13). (F.9189).



9190
Foto 0.- Laminación de las calcareritas mayores de Benaiza (13) a
Base de las Areniscas del Aljibe (14), durante la fase de
imbricación. (Oeste a la derecha. Puerto de la Jota). (F.9190).



9191
Foto - Areniscas del Aljibe (14). Tramo de arcillas. (F.9191).



9192

Foto 14.- Areniscas del Aljibe (14). Estructura sinforme "apretada" durante la fase de retro. (Oeste a la izquierda. Puerto de la Víbora). (F.9192).



9193

Foto 14.- Areniscas del Aljibe (14). Charnelas de pliegues anticlinales de fase retro, vergentes al Este.
(Puerto del Membrillo). (F.9193).



9194

Foto 14.- Areniscas del Aljibe (14). Imbricación de Escamas a base de las cuales se puede observar el tramo "blando" de Benaiza (13). (Oeste a la izquierda, Boquete del Toro). (F.9194)



9195

Foto 9195.- Arcillas con tubotomaculum (16) con intercalación de calcarita. (F.9195).



9196

Foto 9196.- Arcillas con tubotomaculum (16) cerca de su contacto con el triásico arcillo yesífero. (Loma de los Carrascales). (F.9196).



9197

Foto 9197.- Tramos calcareníticos intercalados en las arcillas con
tubotomaculum (16). (F.9197).



9198

Foto 9198.- Bloque de algas marinas jurásicas (17). (F.9198).



9199
Foto - Bloque areniscas tableadas Oligocenas (19). (F.9199).